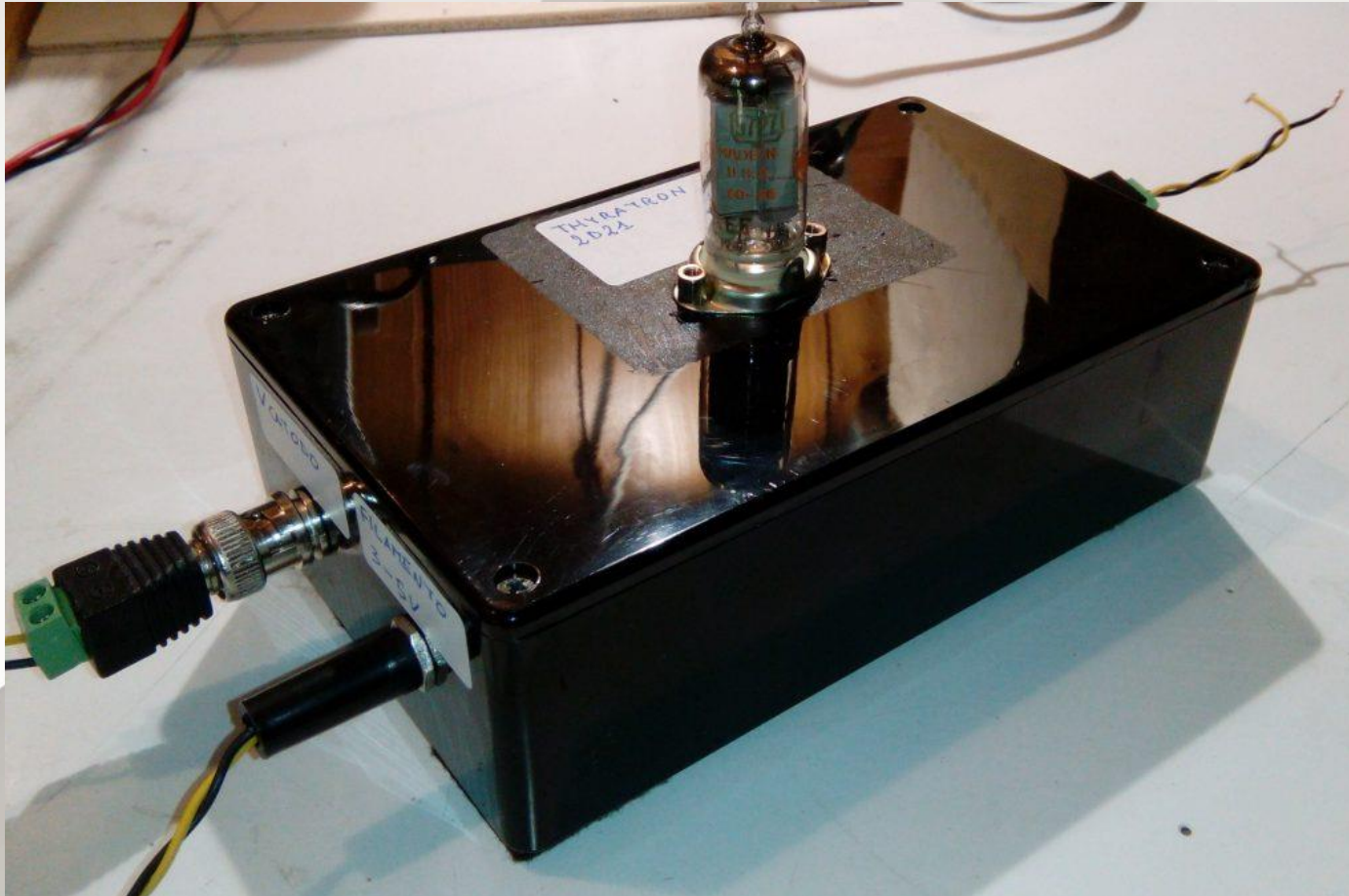


Effet Ramsauer-Townsend



Pré-Ing 2

Groupe : MI1-F

- Enzo FULGORI
- Rayane MEHANNI
- Hugo NKUNDIYEZE

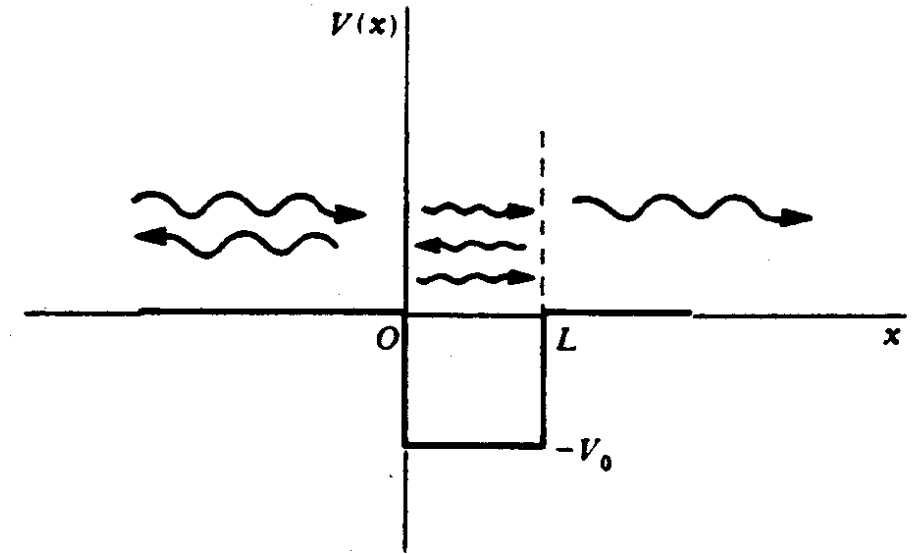
Enseignante : Mme. Dupont
Matière : Physique Moderne

Sommaire

1. Effet Ramsauer-Townsend.....	3
2. Configuration expérimentale.....	4
3. Pourquoi une analyse quantique ?.....	5
4. Etude analytique.....	6
4.1 Le puits de potentiel.....	7
4.2 Les régions de l'espace.....	8
4.3 Les états stationnaires.....	9
4.4 Expressions de T et R.....	10
4.5 Analyse de T et R.....	11
4.6 Paquet d'ondes.....	12
5. Etude numérique.....	13
6. Annexes.....	14
7. Bibliographie.....	15

Effet Ramsauer-Townsend

- Carl Ramsauer (1879-1955)
- John Townsend (1868-1957)
- Diffusion des électrons de faible énergie par les atomes d'un gaz noble
- Faible/Absence coefficient de réflexion
- Effet expliqué à l'aide de la mécanique quantique



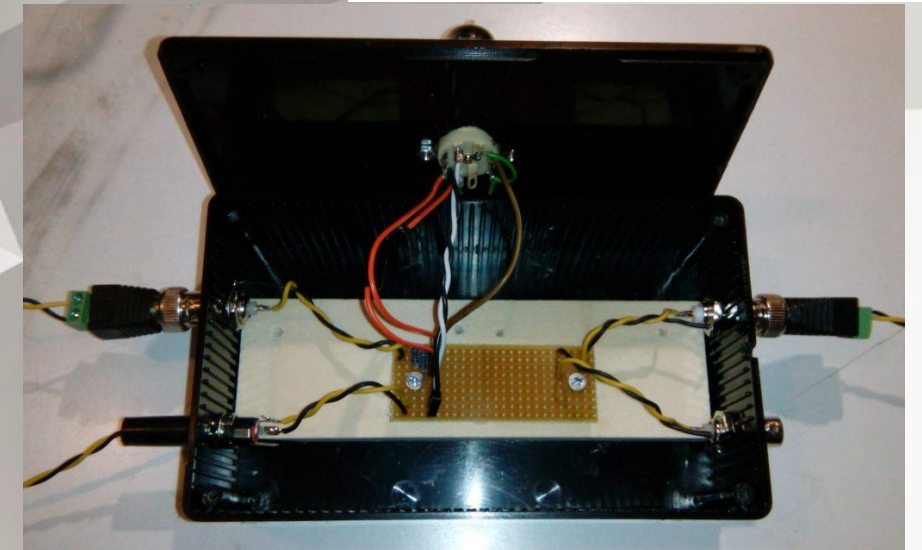
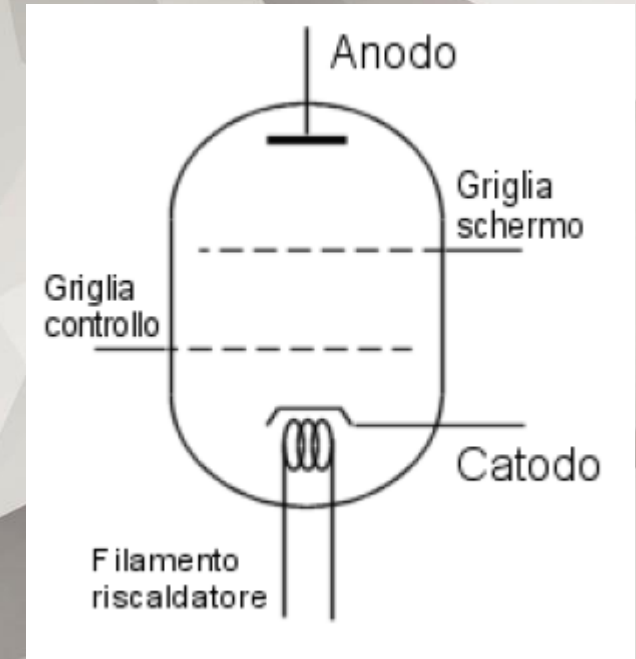
Carl Ramsauer



John Sealy Townsend

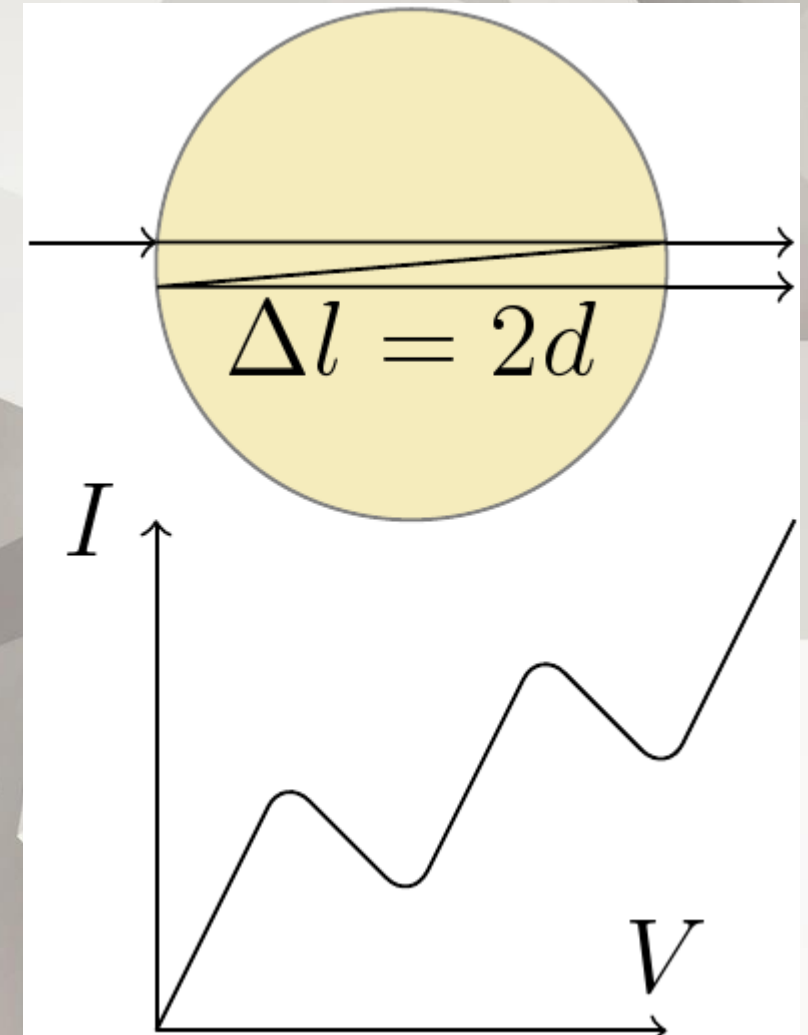
Configuration expérimentale

- Emission d'un électron en chauffant un métal à une température suffisamment élevée
- Chambre remplie d'un gaz noble
- Capteur pour mesurer la quantité d'électrons transmis et réfléchis
- L'expérience a eu lieu après la Première Guerre mondiale

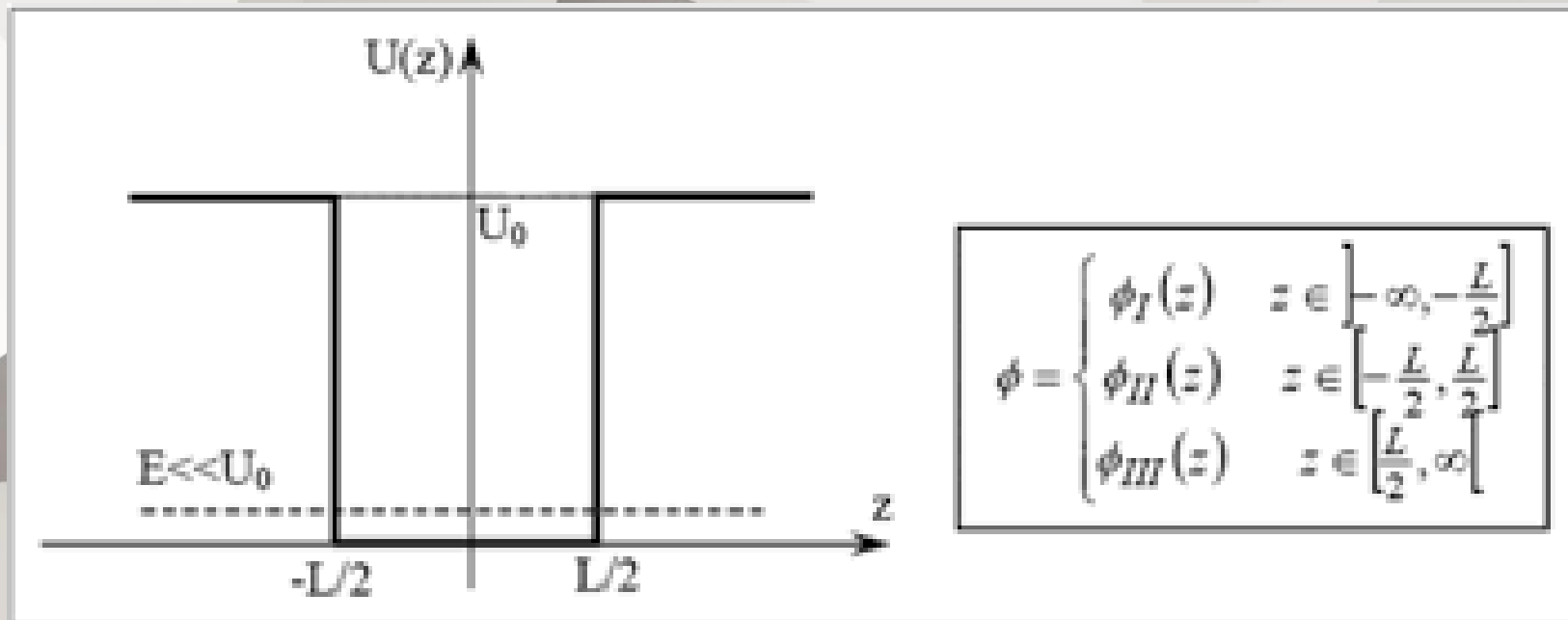


Pourquoi une analyse quantique ?

- Importance de la force électrostatique en déviant les ondes de leurs trajectoires initiales
- La masse des particules est très faible
- La taille des particules est sur une très petite échelle
- La réflexion de la particule projetée dans un gaz noble est quasiment nulle pour certaines énergies précises



Etude analytique



Le puits de potentiel

- Modèle à une dimension d'espace
- Puits de potentiel de profondeur finie
- V_0 ($V_0 > 0$)
- Expression du potentiel en fonction de la position :

$$V(x) = \begin{cases} -V_0 & (V_0 > 0), \text{ si } a < x < a + \epsilon, \\ 0, & \text{si } x < a \text{ ou } x > a + \epsilon. \end{cases}$$

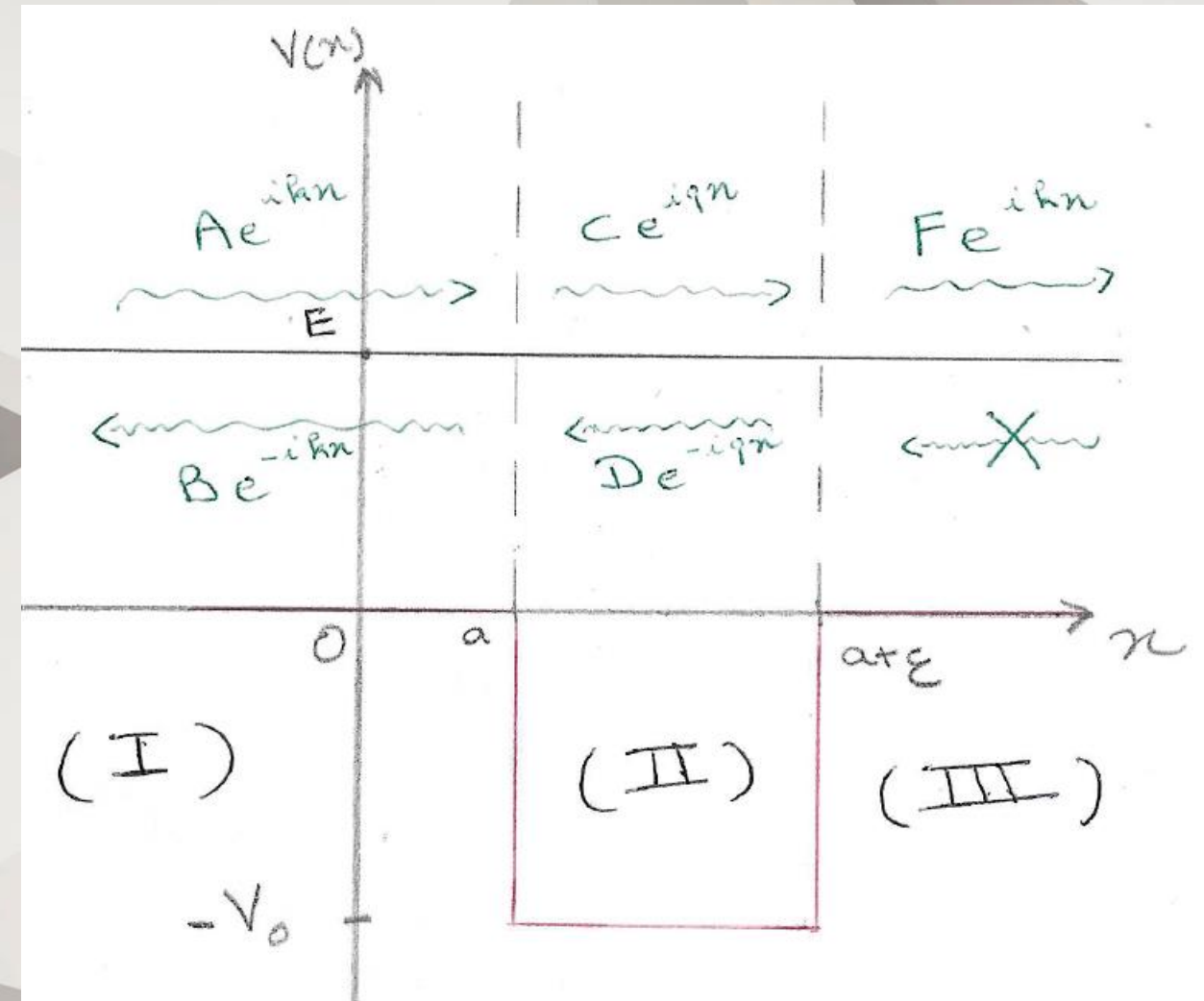


Schéma du puits de potentiel fini

Les régions de l'espace

- Distinction de 3 régions de l'espace :
- **Région I ($x < a$)** : La région dans laquelle se trouve la particule avant de franchir le puits de potentiel. Le potentiel dans cette région est nul
- **Région II ($a < x < a + \varepsilon$)** : La région du puits de potentiel. Le potentiel dans cette région vaut $-V_0$ ($V_0 > 0$)
- **Région III ($x > a + \varepsilon$)** : La région dans laquelle se trouve la particule après avoir franchi le puits de potentiel. Le potentiel dans cette région est nul

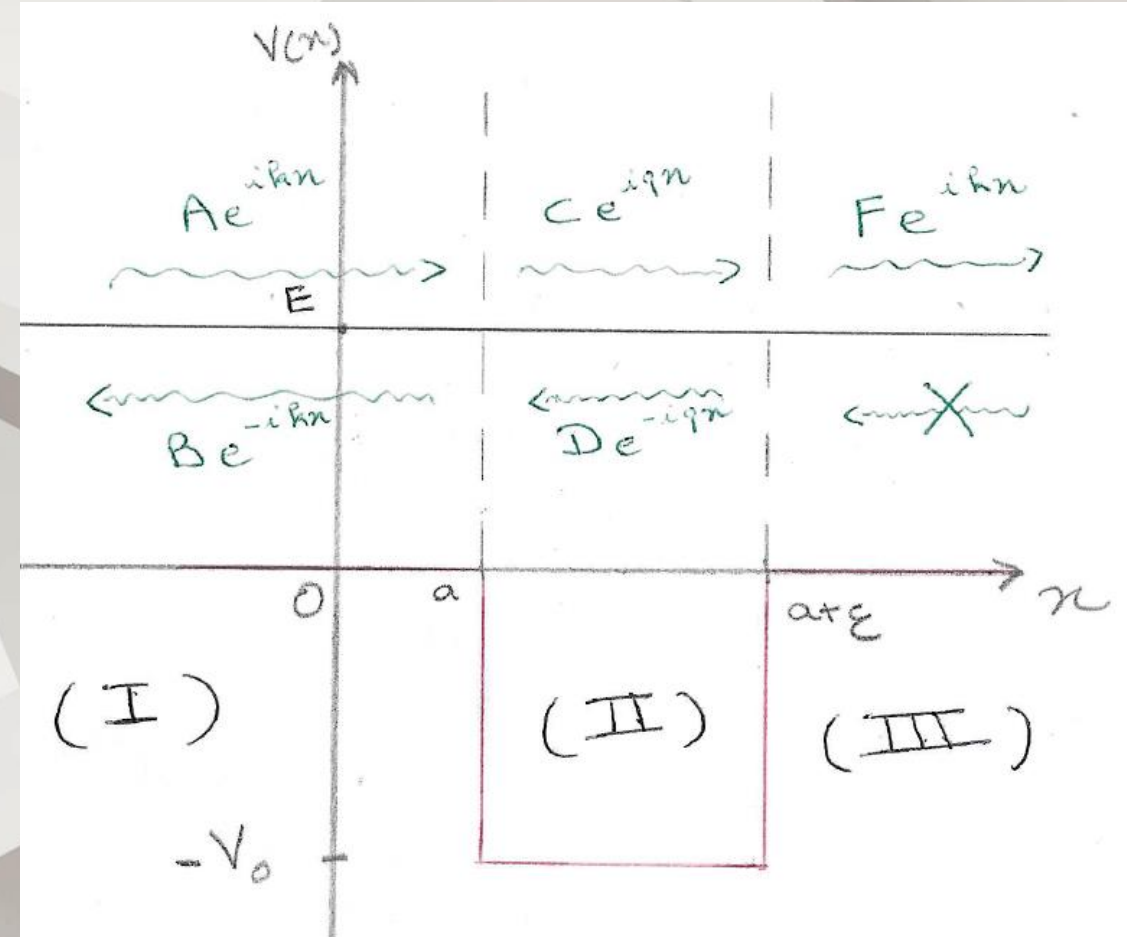


Schéma du puits de potentiel fini

Les états stationnaires

- **Equations de Schrödinger**

Dépendante du temps

$$i\hbar \frac{\partial \Psi(x, t)}{\partial t} = -\frac{\hbar^2}{2m} \frac{\partial^2 \Psi(x, t)}{\partial x^2} + V(x) \Psi(x, t).$$

Indépendante du temps

$$-\frac{\hbar^2}{2m} \frac{d^2 \phi(x)}{dx^2} + V(x) \phi(x) = E \phi(x).$$

Solutions dans les 3 régions de l'espace

Avec :

$$(I) \quad \phi_I(x) = A e^{ikx} + B e^{-ikx},$$

$$(II) \quad \phi_{II}(x) = C e^{iqx} + D e^{-iqx},$$

$$(III) \quad \phi_{III}(x) = F e^{ikx},$$

$$k = \sqrt{\frac{2mE}{\hbar^2}}$$

$$q = \sqrt{\frac{2m(E + V_0)}{\hbar^2}}$$

Expressions de T et R

- Conditions de continuité de la fonction d'onde et de sa dérivée :

$$\begin{cases} \phi_1(a^-) = \phi_2(a^+) \\ \phi_2(a + \epsilon^-) = \phi_3(a + \epsilon^+) \\ \phi'_1(a^-) = \phi'_2(a^+) \\ \phi'_2(a + \epsilon^-) = \phi'_3(a + \epsilon^+) \end{cases}$$

$$\Leftrightarrow \begin{cases} Au + Bu^{-1} = Cv + Dv^{-1} \\ Cvv' + Dv^{-1}v'^{-1} = Fuu' \\ Au - Bu^{-1} = \frac{q}{k}(Cv - Dv^{-1}) \\ Cvv' - Dv^{-1}v'^{-1} = \frac{k}{q}Fuu' \end{cases}$$

- Avec :

$$\begin{cases} u = e^{ika} \\ u' = e^{ik\epsilon} \\ v = e^{iqa} \\ v' = e^{iq\epsilon} \end{cases}$$

- Coefficient de transmission :

$$T = \left| \frac{F}{A} \right|^2 = \left(1 + \frac{1}{4} \frac{(k^2 - q^2)^2}{k^2 q^2} \sin^2(q\epsilon) \right)^{-1}$$

Et en remplaçant k et q par leurs expressions on trouve :

$$T = \left(1 + \frac{1}{4} \frac{V_0^2}{E(E + V_0)} \sin^2(q\epsilon) \right)^{-1}$$

- Coefficient de réflexion :

$$R = \left| \frac{B}{A} \right|^2 = 1 - T$$

Analyse de T et R

- Dans le cas où $T \approx 1 \Rightarrow R \approx 0$:

$$T = 1 \iff \sin^2(q\epsilon) = 0 \iff q\epsilon = n\pi$$

$$\iff \frac{\sqrt{2m(E + V_0)}}{\hbar^2} = \frac{n\pi}{\epsilon}$$

$$\iff 2m(E + V_0) = \frac{n^2\pi^2\hbar^4}{\epsilon^2}$$

$$\iff E_n = \frac{n^2\pi^2\hbar^4}{2m\epsilon^2} - V_0$$

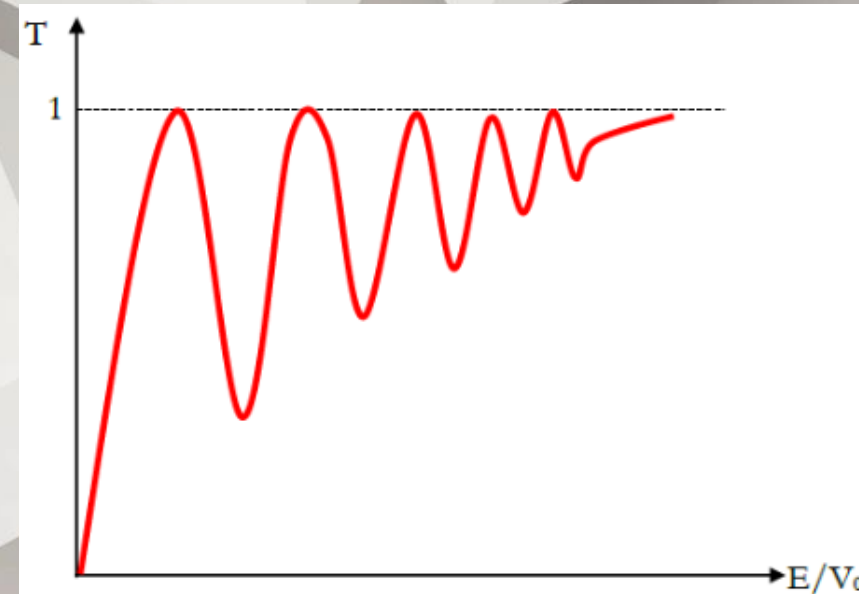
- Quantification de E_n :

$$E_n = \frac{n^2\pi^2\hbar^4}{2m\epsilon^2} - V_0$$

- Quantification de e_n :

$$e_n = \frac{E_n}{V_0} = \frac{n^2\pi^2\hbar^4}{2m\epsilon^2 V_0} - 1$$

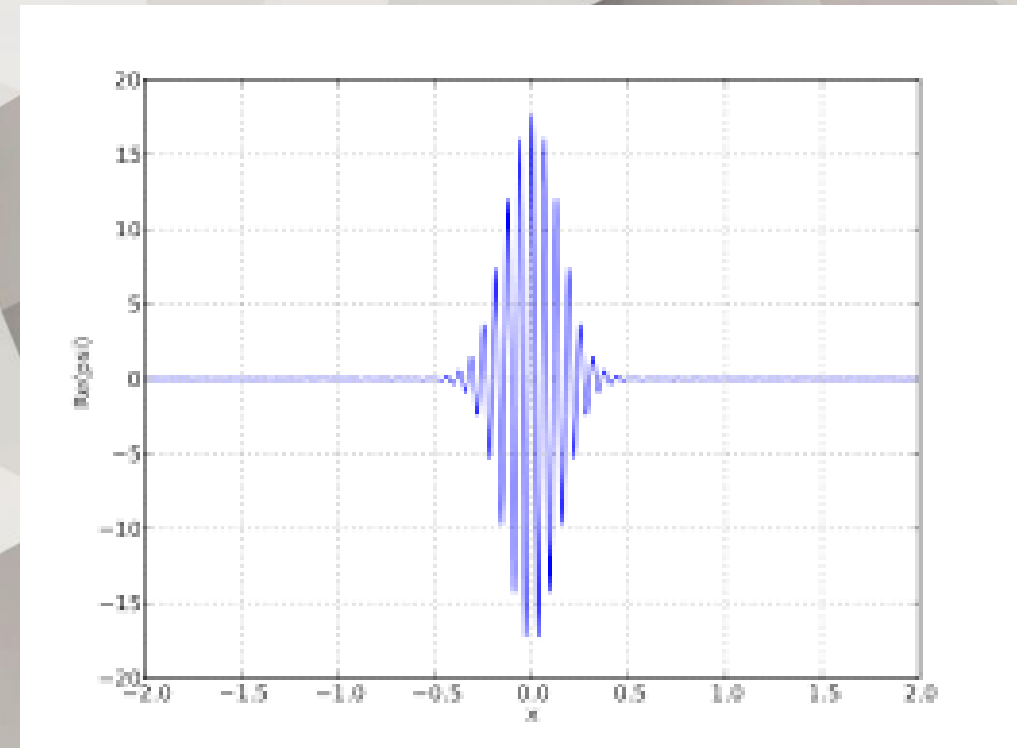
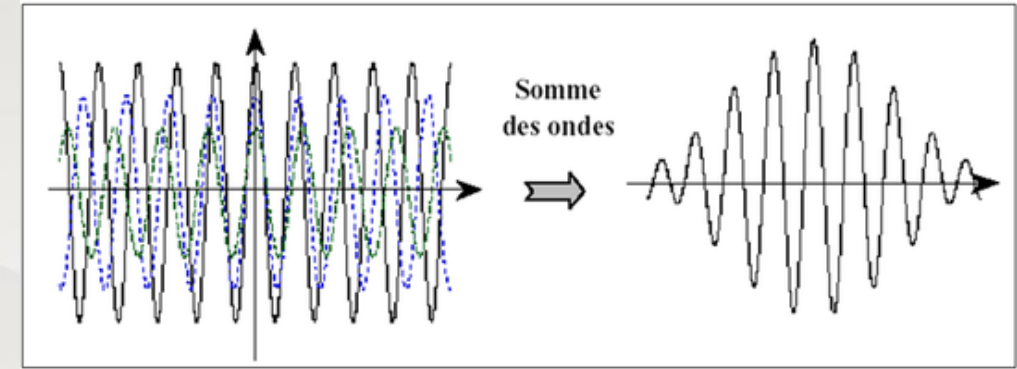
- à certaines énergies E_n on peut observer un pic du coefficient de transmission d'une particule tel que $T \approx 1$ et $R \approx 0$. Ce phénomène est appelé résonance



Courbe illustrant le coefficient de transmission T en fonction du rapport : $e = E/V_0$

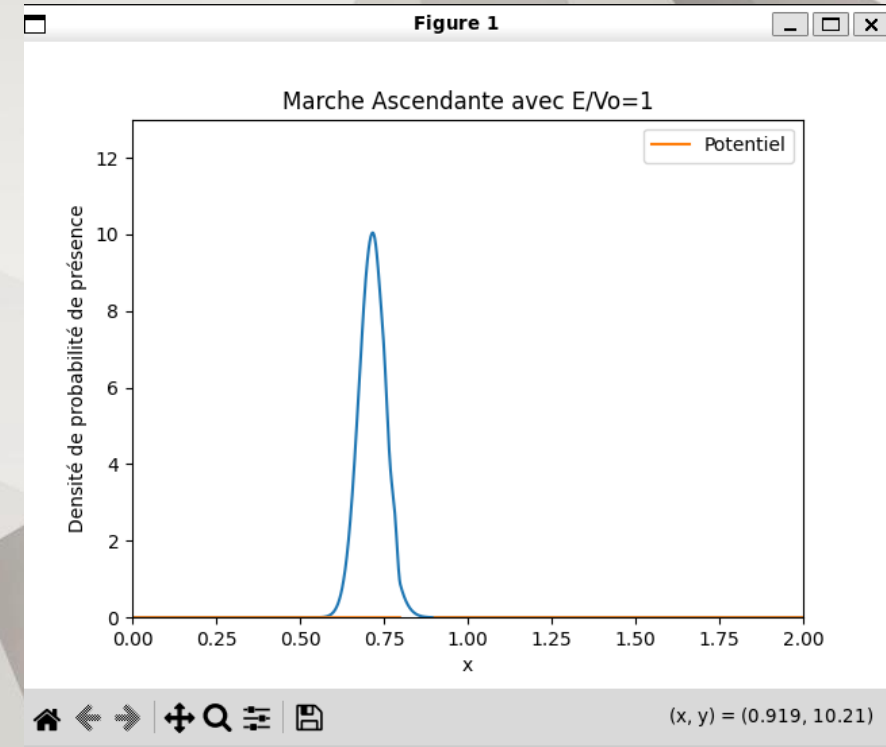
Paquet d'ondes

- Propagation d'un paquet d'ondes gaussien qui est une superposition d'ondes de différentes impulsions k centrée autour d'une énergie E_0
- Le coefficient de transmission du paquet d'ondes devient une moyenne pondérée des transmissions de chaque onde
- Même en centrant le paquet d'ondes autour d'une énergie E_0 résonante, $T < 1$
- Un spectre plus large entraîne une diminution des pics de transmission



Etude numérique

- Le code en python fourni permet de visualiser la densité de probabilité de présence d'un paquet d'ondes en fonction de la position
- Coefficient de transmission T légèrement différent entre l'étude numérique et analytique
- Le coefficient de transmission du paquet d'ondes est une moyenne pondérée de toutes les transmissions
- Plus la largeur du puits et le potentiel V_0 augmentent, plus T augmente



- Un potentiel plus réaliste est le potentiel gaussien dont l'expression est :

$$V(x) = -V_0 \cdot e^{-\frac{(x-x_0)^2}{2\sigma^2}}$$

- Avec x_0 la position du centre du puits de potentiel et σ la largeur du puits.

Annexes

- Lien du répertoire GitHub contenant le code python de l'étude numérique : [Lien](#)
- Détails des calculs et démonstrations des expressions ($T, R, E_n, e_n \dots$) :



Document Adobe
Acrobat

- Rapport du projet numérique :

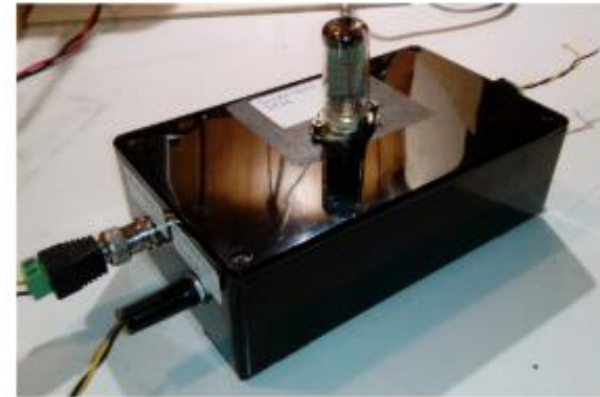


Document Adobe
Acrobat



Juin 2025

Effet Ramsauer-Townsend



Rapport Projet Numérique :

Matière : Physique moderne

Nom du professeur : Madame Emilie Dupont

Sujet : Effet Ramsauer-Townsend

Filière : Pré-ing 2 \ groupe MI01

Réalisé par le Groupe MI01-1F :

- Enzo Fulgori
- Rayane Mehanni
- Hugo Nkundiyeze

Établissement : CY Tech, avenue du Parc, 95000, Cergy.

Année universitaire : 2024/2025

Bibliographie

- B. Zwiebach, (2016, Avril 26). Quantum Physics I, Lecture Note 17
https://ocw.mit.edu/courses/8-04-quantum-physics-i-spring-2016/79c490b96f77e1374c42d7119a940091_MIT8_04S16_LecNotes17.pdf
- PhysicsOpenLab , (2016, Août 16). Ramsauer-Townsend Effect
<https://physicsopenlab.org/2016/08/16/ramsauer-townsend-effect/>
- Mohamed El Hafidi, (2024, Mars 17). Effet Tunnel et Ramsauer : Comparaison
<https://youtu.be/5H-SI65kOx0?si=XuRFf1RhFeeaBtzg>

Merci pour votre
attention